# KARAKTERISASI RESERVOAR "FEBRI-UNILA FIELD" MENGGUNAKAN METODE ACOUSTIC IMPEDANCE (AI) INVERSION

# Febrina Kartika<sup>1</sup>, Bagus Sapto Mulyatno<sup>1</sup>, Ahmad Zaenudin<sup>1</sup>

<sup>1</sup>Jurusan Teknik Geofisika Universitas Lampung Jl. Prof. Dr. Soeamtri Brodjonegoro No.1, Bandar Lampung 35145

## **ABSTRAK**

AI (Acoustic Impedance) adalah salah satu parameter fisis batuan yang nilainya dipengaruhi oleh tipe litologi, porositas, kandungan fluida, kedalaman tekanan dan temperatur. Oleh karena itu AI (Acoustic Impedance) digunakan sebagai indikator porositas, pemetaan litologi, dan menentukan karakteristik reservoar pada Febri-Unila Field. Secara umum inversi AI (Acoustic Impedance) akan memberikan gambaran geologi bawah permukaan yang lebih detail dari pada seismik konvensional. Karena umumnya amplitude pada seismik konvensional hanya menggambarkan batas lapisan batuan, sedangkan AI (Acoustic Impedance) memberi gambaran karakteristik batuan itu sendiri. Karakterisasi "Febri-Unila Field" menggunakan data seismik 3D, horizon, dan data sumur sebagai data input. Pada reservoar target (channel-infill), Acoustic Impedance (AI) Inversion akan memetakan distribusi lateral Acoustic Impedance (AI) dengan menggunakan teknik Linier Programing Sparse Spike (LPSS) Inversion, kemudian sebaran Acoustic Impedance (AI) hasil inversi dikonversikan ke porositas dengan menggunakan multiatributte. Metode Linier Programing Sparse Spike (LPSS) Inversion dipilih sebagai fokus teknik inversi, karena tidak terlalu bergantung pada initial model, dan metode Linier Programing Sparse Spike (LPSS) Inversion cocok diterapkan pada data yang memiliki reflektivitas baik. Hasil inversi menunjukkan sebaran channel ditemukan mulai dari time 1050 ms, berada pada anomali Acoustic Impedance (AI) rendah, dengan nilai antara 21042 ft/s\*gr/cc -31468 ft/s\*gr/cc dengan ketebalan channel yang bervariasi, hingga mencapai 35 m. Konversi porositas menggunakan 7 attribute, menunjukan zona low impedance memilki porositas tinggi hingga sekitar 18 %.

## 1. Pendahuluan

Karakterisasi reservoar merupakan suatu proses untuk menjabarkan secara kualitatif dan atau kuantitatif karakter reservoar menggunakan semua data yang ada (Sukmono, 2002). Karakterisasi reservoar perlu dilakukan untuk mendapatkan keadaan parameter subsurface, baik litologi ataupun fluida. Analisis data seismik dikombinasikan dengan geologi akan mengurangi keambiguitasan

dalam karakterisasi reservoar. Untuk itu diperlukan suatu metode mengkarakterisasi suatu reservoar. Dalam perkembangan ilmu tentang karaterisasi reservoar, dikenal metode inversi seismik Acoustic Impedance (AI). Metode inversi seismik untuk menghasilkan Acoustic Impedance (AI) yang digunakan untuk merubah citra seismik normal incidence yang mencerminkan batas antar lapisan menjadi layer properties yang dapat digunakan dalam membantu

mengkarakterisasi suatu reservoar. AI (Acoustic Impedance) adalah salah satu parameter batuan yang nilainva dipengaruhi oleh tipe litologi, porositas, kandungan fluida, kedalaman tekanan dan temperatur. Oleh karena itu AI digunakan indikator sebagai litologi, porositas, hidrokarbon, pemetaan litologi, dan menentukan karakteristik reservoar. Secara umum inversi AI akan memberikan gambaran geologi bawah permukaan yang lebih detail pada dari seismik konvensional. Karena umumnya amplitudo pada seismik konvensional hanya menggambarkan batas lapisan batuan, sedangkan AI memberi gambaran karakteristik batuan itu sendiri. Pada penelitian reservoar target yang merupakan channel-infill, Acoustic Impedance (AI) Inversion diharapkan akan memetakan distribusi lateral porositas reservoar target.

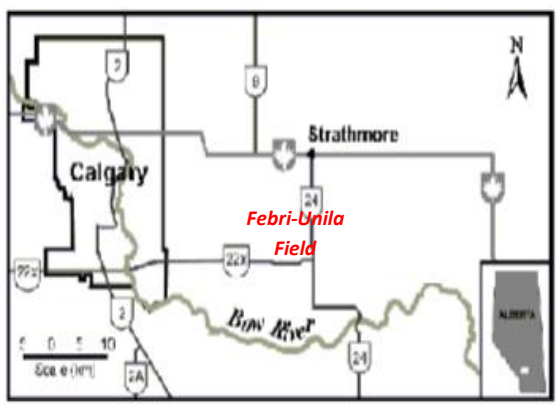
Tujuan dari penelitian ini adalah mengkarakterisasi reservoar "Febri-Unila Field" menggunakan seismik inversi (Acoustic Impedance Inversion) untuk memetakan distribusi lateral porositas reservoar target.

Batasan masalah pada penelitian ini adalah:

- Teknik inversi metode Acoustic Impedance (AI) Inversion yang digunakan pada penelitian ini adalah Linier Programing Sparse Spike (LPSS).
- *Hasil data* akhir adalah peta sebaran *Acoustic Impedance (AI)* dan peta sebaran porositas.

## 2. Geologi Regional Dan Stratigrafi

Lokasi penelitian "Febri-Unila Field" berada di Alberta Selatan, 45 km ke arah Tenggara dari Calgary, Kanada.



**Gambar 1.** Peta Area studi (Miller opcit Riyanto, 2010)

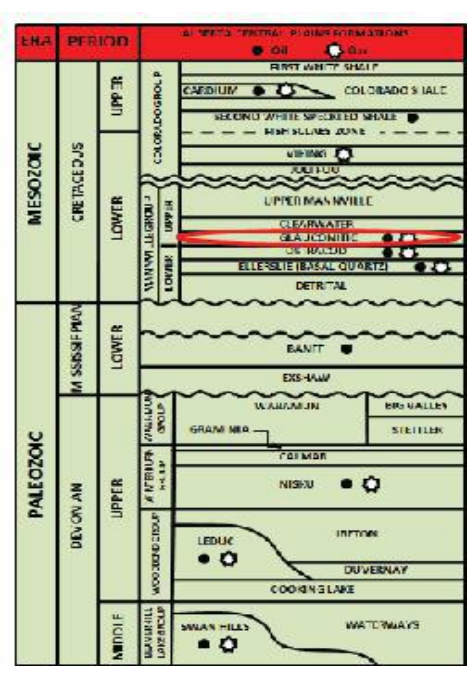
Reservoar yang telah beproduksi pada area studi adalah *Glauconitic Sand* dari Formasi *Glauconitic* usia *Lower Cretaceous*. Pada Alberta Selatan, Formasi Glauconitic merupakan sebuah *unconformity* sekuen yang terbentuk oleh respon *coastal plain* kuno terhadap fluktuasi *sea level* relatif (Wood, 1992).

Batuan target yang menjadi objek studi merupakan valleyfill/channelfill sedimen dari Formasi Glaunitic (Gambar 2). Channel juga memotong berbagai kedalaman melewati strata, sehingga channel dapat ditemukan melampaui atau berada pada Formasi Ostracod, Formasi Sunburst, dan Formasi Detrital.

Formasi Glaunitic merupakan quartz sandstone dengan grain sangat halus (very fine) hingga medium. Perlapisan Ostracod yang berada di bawah Glaunitic membuat lapisan Ostracod terdiri atas shale air payau, argillaceous, limestone fossilliferous, serta lapisan tipis quartz sandstone dan siltstone.

Pada Formasi Sunburst, mengandung bed ribbon dan sheet sandstone yang membentuk sub-lithorenit dan quartzarenit. Sedangkan pada Formasi Detrital memiliki sebuah hetergeneous lithologi yang tinggi, berisi kerikil, lithicsandstone, siltstone dan aboundant shale.

Pada study area, *channelfill* sedimen memiliki ketebalan bervariasi, dari 0-35 meter lebih. *Channel* disubsidikan menjadi 3 unit, yang berhubungan dengan 3 fasa porositas. Bagian tengah *channel* merupakan *sand quartz* dengan porositas rata-rata hingga 18%, bagian atas dan bawah merupakan *tight lithic sandstone* (Torodov, 2000).



**Gambar 2**. Stratigrafi "Area Studi" (Miller opcit Riyanto, 2010)

## 3. Teori Dasar

Salah satu sifat akustik yang khas pada batuan adalah *Acoustic Impedance (AI)* yang merupakan perkalian antara kecepatan (VP) dan densitas ( $\rho$ ).

$$AI = V_{p} \rho \tag{1}$$

Dari persamaan harga *AI* (acoustic impedance) ini lebih dikontrol oleh Vp (kecepatan gelombang P dalam satuan m/s) dibandingkan ρ (densitas batuan dengan satuan g/cm<sup>3</sup>), karena orde nilai kecepatan lebih besar dibandingkan orde nilai densitas. Jika gelombang seismik ini

melewati dua media yang berbeda impedansi akustiknya, maka akan ada sebagian energi yang dipantulkan yang kemudian direkam oleh *receiver* di permukaan.Untuk setiap adanya perubahan AI di bawah permukaan bumi akan menimbulkan koefisien refleksi yang dirumuskan sebagai :

$$R = \frac{AI_{i+1} - AI_{i}}{AI_{i+1} + AI_{i}},$$
 (2)

di mana:

R = koefisien refleksi Aii = impedansi akustik lapisan ke-i AIi+1 = impedansi akustik lapisan ke i+1

inversi Metode **Sparse** Spike mengasumsikan bahwa reflektifitas suatu model dianggap sebagai rangkaian spike jarang yang dan bernilai besar. ditambahkan dengan deret spike yang kemudian dilakukan kecil estimasi wavelet berdasarkan asumsi model tersebut. Trace seismik akan mengalami penambahan jumlah spike baru yang lebih kecil dari spike sebelumnya, sehingga akan membuat menjadi lebih akurat. Dalam metode sparse spike ini terdapat beberapa teknik dekonvolusi, karena metode ini mengasumsikan beberapa model reflektifitas dan membuat estimasi wavelet berdasarkan asumsi tersebut, seperti teknik:

- 1. Maximum Likelihood (MLD)
- 2. Linier Programing Sparse Spike (LPSS)

Metode inversi ini memiliki kelebihan dibandingkan metode dekonvolusi biasa karena estimasi *sparse spike* dengan batas, sehingga dapat digunakan untuk estimasi reflektifitas *full-bandwidth* (Sukmono, 2007).

Atribut seismik merupakan suatu transformasi matematis dari data *trace* seismik yang merepresentasikan besaran waktu, amplitudo, fase, frekuensi, dan atenuasi. Atribut seismik juga dinyatakan sebagai sifat kuantitatif dan deskriptif dari data seismik yang dapat ditampilkan dalam skala yang sama dengan data aslinya (Sukmono, 2001).

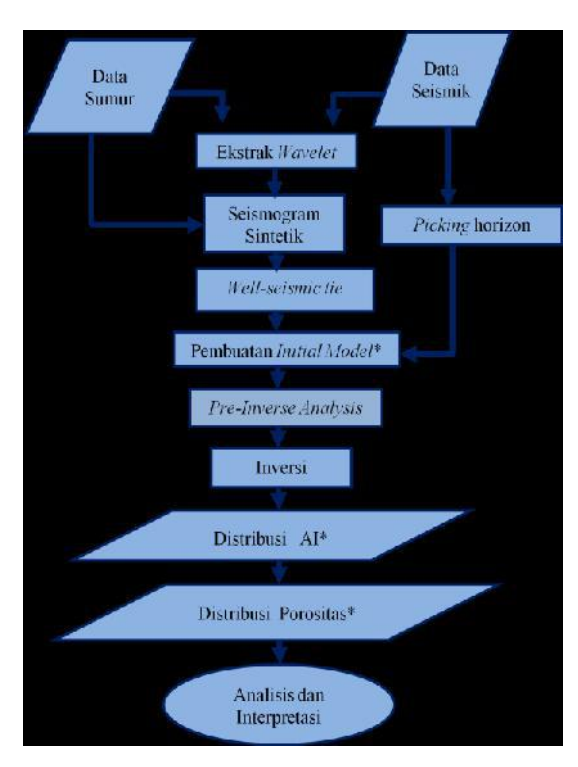
Tiap-tiap atribut saling berhubungan satu sama lainnya, di mana beberapa atribut memiliki sensitifitas terhadap reservoar tertentu dan beberapa atribut lainnya lebih baik di dalam menampilkan informasi ataupun anomali bawah permukaan yang mula-mula tidak teridentifikasi oleh data konvensional atau bahkan sebagai indikator keberadaan hidrokarbon (direct hydrocarbon indicator) (Yaman, 2005).

Sehingga penampang dan peta baru yang dihasilkan dari perhitungan atribut diharapkan mampu mencitrakan aspek geologi yang lebih baik dibandingkan dengan hasil dari penampang konvensional (Rusdiyo, 2004).

#### 4. Metode Penelitian

Penelitian ini menggunakan software SURFER10 untuk griding horizon, dan Humpson Russell CE8/R4.4 untuk inversi, dengan input data utama adalah 3D seismik post-stack (Gambar 3), 4 data horizon, dan 6 data sumur (Febri1, Febri2, Febri3, Febri4, Febri5, Febri6), serta data pendukung berupa base map, data geologi regional, dan report.

Alur kerja penelitian di tunjukan *Flow chart AI Inversion* pada Gambar 3.



Gambar 3. Flow Chart AI Inversion

# **Picking Horizon**

Picking horizon dilakukan dengan step 10 untuk inline dan step 5 untuk xline menggunakan polaritas normal dimana kenaikan impedance ditandai dengan puncak. Kemudian dilakukan griding data horizon dengan bantuan software Surfer10. Pada penelitian ini digunakan 4 data horizon, yaitu lc, slc, tch, mcb.

## **Ekstraksi** Wavelet

Wavelet yang digunakan untuk proses well-seismic tie merupakan hasil ekstraksi data sumur pada kisaran zona target, yakni pada time 800-1200ms, dengan wavelet length 100, dan taper length 20 pada masing-masing sumur. Wavelet hasil ekstraksi yang digunakan untuk mengikatkan data sesmik dan data sumur.

## **₩ell-Seismic Tie**

Untuk meletakkan horizon seismik (skala waktu) pada posisi kedalaman sebenarnya, dan agar data seismik dapat dikorelasikan dengan data geologi lainnya yang

umumnya diplot dalam skala kedalaman, maka perlu dilakukan *well-seismic tie*. Dan hasil korelasi dari tiap sumur ditunjukkan oleh Tabel 1.

Tabel 1. Nilai korelasi hasil well-seismik

No.	Sumur	Wavelet	Nilai
1			Korelasi
1.	Febri1	Wavelet_Febri1	0.610
2.	Febri2	Wavelet_Febri2	0.523
3.	Febri3	Wavelet_Febri3	0.669
4.	Febri4	Wavelet_Febri4	0.862
5.	Febri5	Wavelet_Febri5	0.670
6.	Febri6	Wavelet_Febri6	0.767

Korelasi sumur Febri4 yang mencapai mencapai 0.862 (lihat Tabel 1), serta bentuk dan frekuensi *wavelet* yang mendekati ideal (lihat Gambar 4), maka dipilih wavelet\_Febri4 sebagai *wavelet input* pada proses inversi.

# Pembuatan Model Awal/ Initial Model

Model initial (Gambar 5) dibuat dengan 4 (empat) horizon, 6 sumur kontrol, dan dengan geometri yang sama dengan geometri input seismik awal.

Pada spesifikasi stratigrafi, interpolasi layer menggunakan Inverse Distance Power, berupa toplap di atas lc dan baselap di bawah mcb. Sedangkan layer antara horizon-horizon yang berada pada lc dan mcb comfortable.

## **Pre-inverse** Analysis

Analisis pre-inversi dilakukan untuk menguji parameter-parameter yang akan diterapkan pada proses inversi. Pada pre-inverse analysis, dilakukan pengujian nilai parameter sparseness, maximum constraint frequency, dan window length. Dari analisa parameter yang dilakukan didapat parameter sparseness 85 %, maximum constraint frequency 12Hz, dan window length 128.

#### 5. Hasil Dan Pembahasan

# **4** Tuning Thickness Analysis

Dari data log *sonic*, didapat kecepatan interval rata-rata antara horizon *tch* dan *mcb* adalah 4080,854 m/s. *Wavelet* yang digunakan pada proses inversi memilki frekuensi dominan 35 Hz. Maka dengan menggunakan persamaan:

$$\lambda = V/f$$

maka ketebalan tuning 1/4λ pada channel akan bernilai 29.15 m. Jika berdasarkan data geologi, ketebalan channel berbedabeda, berkisar pada ketebalan 0-35 m lebih. Dengan begitu wavelet yang digunakan pada proses inversi secara teoritis diharapkan meng-cover channel dengan ketebalan rata-rata di atas ketebalan tuning.

# **Absolute** Hasil Inversi

Perbedaan harga IA kita dapatkan karena adanya kontras densitas maupun kecepatan gelombang seismik yang selanjutnya diinterpretasikan sebagai kontras litologi. Hasil dari inversi berupa sebaran absolute impedance dimana zona anomali berada pada nilai impedance rendah (21042 ft/s\*gr/cc -31468 ft/sc\*gr/cc), pada kedalaman sekitar 1050 ms seperti yang terlihat pada gambar 6. Tanda panah putih menunjukan impedance rendah yang mengindikasikan reservoar target/ channelsand pada 1050-1100 ms.

Kemudian dilakukan *slicing* terhadap penampang *impedance absolute* dibawah 10, 15,20, dan 25 *ms* dari horizon *tch* (Gambar 7). Hasil dari *slice* data tersebut merupakan peta sebaran zona reservoar target, dimana *channel* target berada pada nilai *impedance* rendah. Zona dengan nilai *impedance* rendah, merupakan refleksi sebaran *channel* ditunjukkan warna putih hingga oranye. Data *impedance absolute* 

rendah sebagai penanda reservoar target, hanya *valid* pada sekitar data yang terdapat sumur.

Gambar 8 menunjukkan hasil konversi porositas dari multi atttribute, dimana jika pada hasil inversi (Impedance absolute) merupakan zona low impedance, maka akan memiliki porositas tinggi pada data hasil keluaran konversi porosity. Hal ini sesuai dengan teori dasar, dimana porositas akan terbalik dengan nilai impedance-nya. Pada area sekitar sumur Febri<sup>2</sup> dan Febri<sup>5</sup> terlihat distribusi porositas kurang baik dibanding dengan 4 sumur lainnya, yaitu Febri1, Febri3, Febri4. dan Febri6 yang memiliki distribusi lateral lebih baik, mencapai nilai maksimum porositas sekitar ditunjukkan dengan warna oranye hingga kuning. Data slice porositas (Gambar 9) berkebalikan dengan hasil slice impedance absolute, dimana lokasi yang terpetakan memiliki impedance rendah, terpetakan sebagai porositas yang tinggi

## 6. Kesimpulan Dan Saran

## **Kesimpulan**

Dari penelitian dan analisis yang dilakukan, maka disimpulkan:

- 1. Hasil inversi menunjukkan sebaran *channel* ditemukan mulai dari *time* 1050 ms, berada pada anomali rendah, antara 21042 ft/s\*gr/cc 31468 ft/s\*gr/cc ditunjukkan warna kuningoranye.
- 2. Dari data *slice AI*, *sebaran channel sand* dengan anomali *impedance* rendah berada pada area sekitar sumur, meski pada sekitar Febri2 dan Febri5, menunjukkan nilai *impedance* yang sedikit lebih tinggi dibanding area sekitar sumur-sumur yang lain.
- 3. Konversi porositas menggunakan 7 attribute (integrate, instaneneous phase, amplitude weighted frequency,

- derivative instaneous amplitude, 1/inverted, integrated absoute amplitude, dan fulter 35/40-45/50), menunjukan zona low impedance pada hasil inversi memiliki porositas tinggi.
- 4. Pada *slice porosity*, terlihat zona anomali *impedance* rendah pada penampang AI hasil inversi, memilki nilai porositas baik hingga sekitar 18%.

#### Saran

Meski Acoustic Impedance Inversion sudah sangat baik untuk mengindikasikan reservoar target, akan tetapi belum mampu untuk menganalisis isi kandungan reservoar. Dengan begitu perlu dilakukan studi geofisika lebih lanjut untuk mengetahui isi kandungan reservoar, seperti Elastic Impedance Inversion ataupun Extended Elastic Impedance Inversion.

## **Daftar Pustaka**

Riyanto, Budi, 2010. *Inversi Seismik*. Tesis, Fakultas MIPA, Universitas Indonesia.

Rusdiyo, 2006. Identifikasi Penyebaran Reservoir Gas Gumai Tengah Menggunakan Analisis Atribut Seismik - di Daerah Jambi. Prosiding HAGI. Yogyakarta.

Sukmono, S., 2001, *Interpretasi Seismik Refleksi*, Departemen Teknik Geofisika, Institut Teknologi Bandung.

Sukmono, S., 2002. Seismik Inversion and AVO Analysis For Reservoir Characterization, Departemen Teknik Geofisika ITB, Bandung.

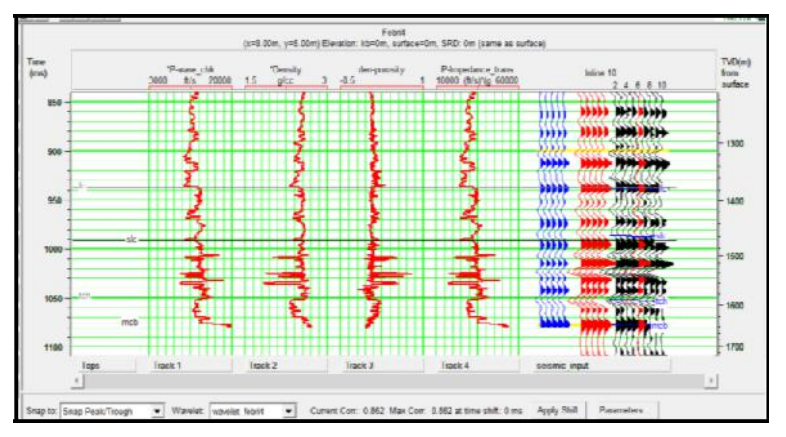
Sukmono, S., 2007. Post and Pre Stack Seismic Inversion for Hydrocarbon Reservoir Characterization, Jurusan Teknik Geofisika, Institut Teknologi Bandung.

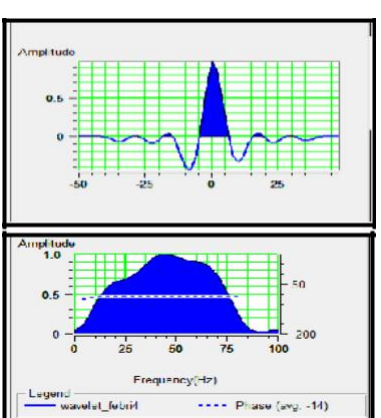
Todor I. Todorov, 2000. Integration Of 3C-3D Seismic Data And Well Logs For Rock Property Estimation. Tesis untuk

M.Sc. Department Of Geology And Geophysics Calgary, Alberta.

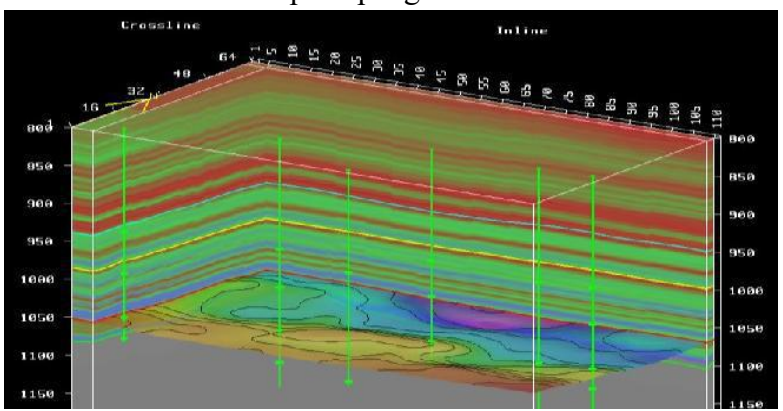
Wood, James M. dan John C. Hopkins, 1992, Traps associated with paleovalleys and interfluves in an unconformity bounded sequence: Lower Cretaceous Glauconitic Member, southern Alberta, Canada: AAPG Bulletin 76, p. 904-926.

Yaman, I.H., 2005. Lithology Classification Using Cluster Analysis Of Generalized Principle Components Of Seismic Attributes: A Case Study In Boonsville Area. Proceeding Joint Convention HAGI-IAGI-PERHAPI. Surabaya.

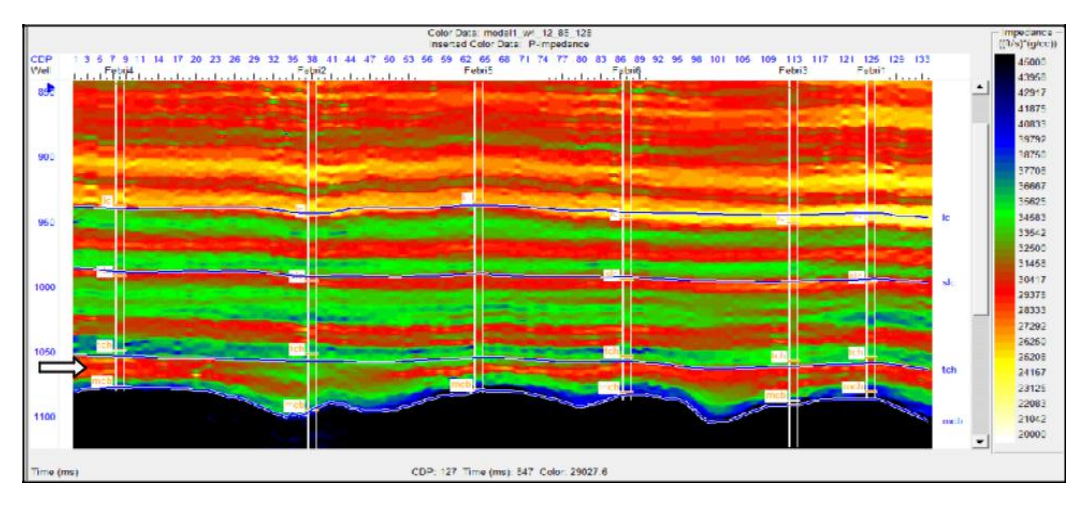




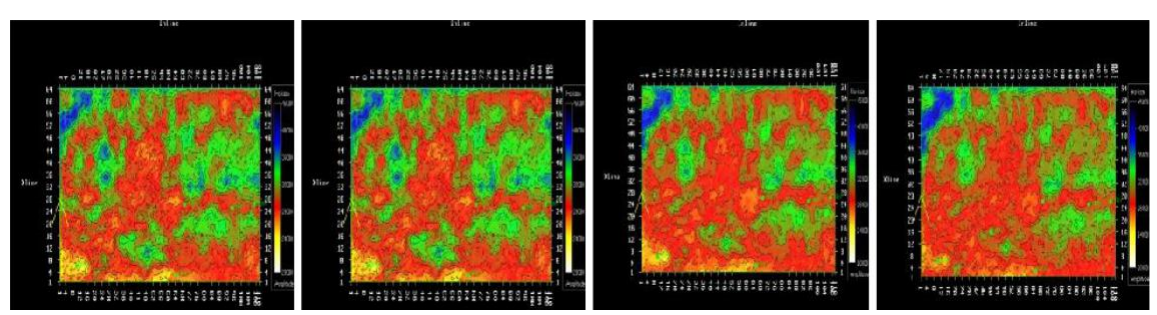
**Gambar 4.** Well Seismik Tie pada Sumur Febri4 dan wavelet yang digunakan pada pengikatan



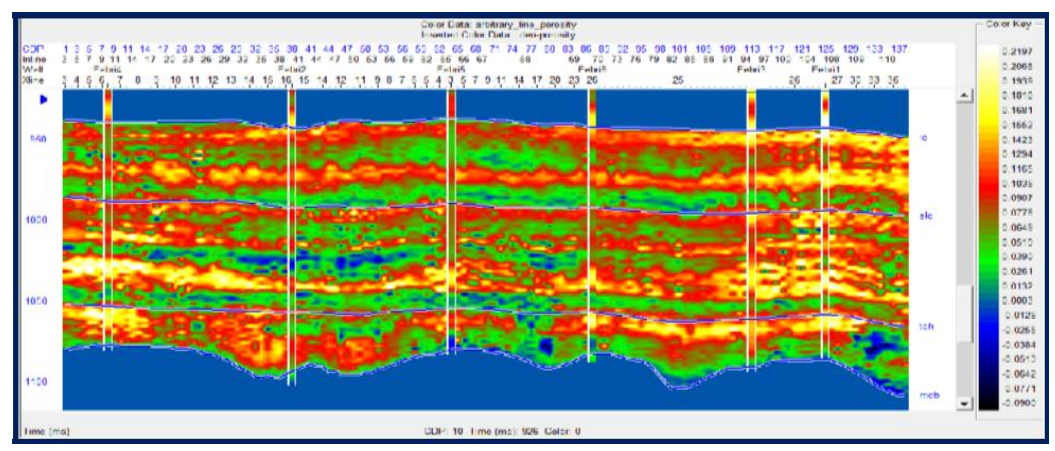
Gambar 5. Initial Model



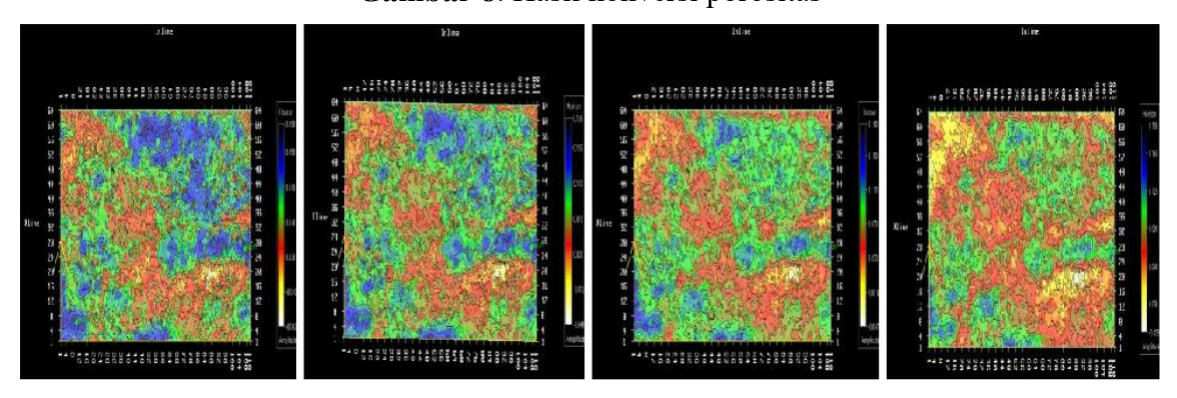
Gambar 6. Impedance Absolute hasil inversi



Gambar 7. Slice Impedance dibawah 10ms, 15ms, 20 ms dan 25 ms horizon tch



Gambar 8. Hasil konversi porositas



Gambar 9. Slice porosity 10 ms, 15 ms, 20 ms dan 25 ms dibawah horizon tch.